

III-15 直接セン断時に生ける砂の動力係数(方二報)

東洋大学工学部 正員 赤木俊児

1. はじめに

直接セン断をうける砂などのような挙動を示すもので、できるだけローカルな変化として把握するためには、側面ガラスの大型直接セン断試験箱を製作し実験を行った。予備実験^{1,2)}の結果については、試料内部の間ヶキ比変化の分布とて発表したが、今回、装置・方法に若干の改良を施して後、一連の本実験を行い、間ヶキ比の変化のみならず、試料内部に発生する各種のヒズミの計算を行つてその分布を調べることとした。現在整理のつよい一部の資料について報告する。

2. 実験概要

今回は上下セン断箱に若干の補強を施してから、鋼鉄製の木ネジ(頭の直径5.5mm, 長さ20mm)を図-1のように約2cm間隔で千鳥に配置し、測定長を大中に増加した。中30cm, 厚さ15cm, 高さ10~20cmの砂の試料について垂直荷重0.2kg/cm², 上箱可動・下箱可動の場合の実験が終了しているが、二つでは高さ10cm, 初期間ヶキ比が平均0.637の試料につき下箱を固定し上箱可動の条件で行った試験について報告する。試料は比較的粒度の良い乾燥砂で、試験開始時の相対密度は約66%であった。試験中は上箱に水平変位を1mm与える毎に写真をとり(写真1), 後これを拡大して各マーカーのx, y座標, およびその変化分, ひずみ値を算出する。上箱に与えた全水平力をストレーンゲージで測定したが、この読みに水平変位dとの関係を図-2に示す。水平抵抗には種々のマツツヤが含まれているが、d=6mm近辺で最大値となり、所謂「破壊」に達したことを示している。試験中に測定した上蓋の沈下量から得られる体積変化を「実験値」として、145ヶのマーカーによって形成される251ヶの三角形要素の各面積変化分を総和して求めた体積変化を「計算値」として、図-2に示したが、後者には配置されたマーカーから外側の部分(上下面側約1cmの領域)の計算が含まれていないにも拘らず、よい一致を示している。

3. ヒズミの計算

砂のような材料の内部に生けるヒズミについて、ロスコーラ³⁾が用いた近接する4箇の座標と変位量という求め方をもとめられた検討中であるが、二つでは有限要素法⁴⁾でよく用いられる仮定「水平, 垂直方向の変位量u, vはx, yの一次(直角)として与えられる」からヒズミを定義することにする。

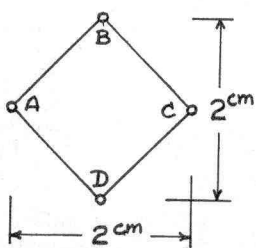


図-1 マーカーの配置

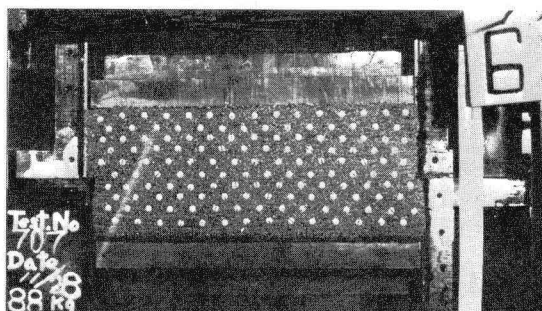


写真-1 d=6mmの状態(上半分が左へ移動中)

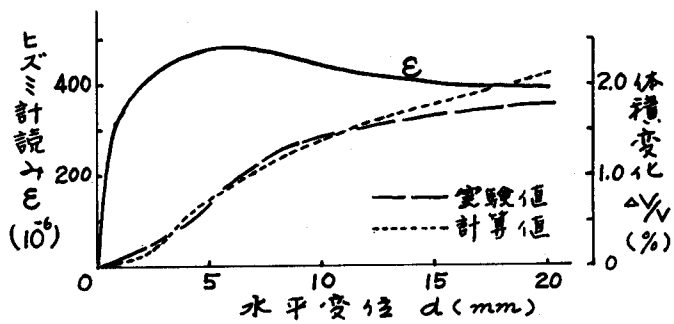
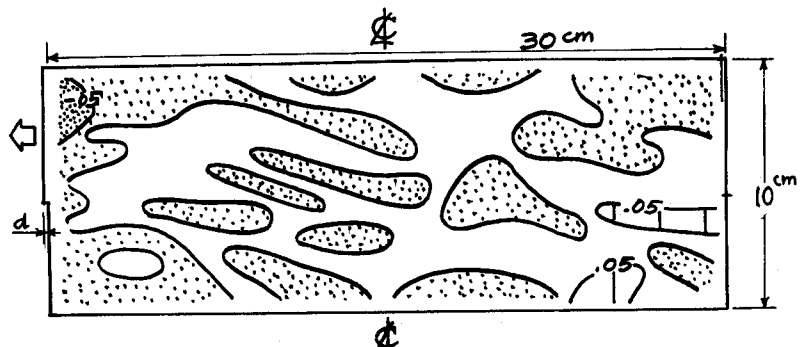


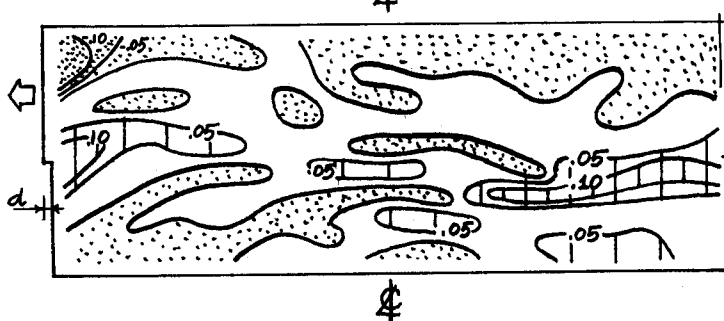
図-3

セシ断ヒズミ
 γ_{xy} の分布

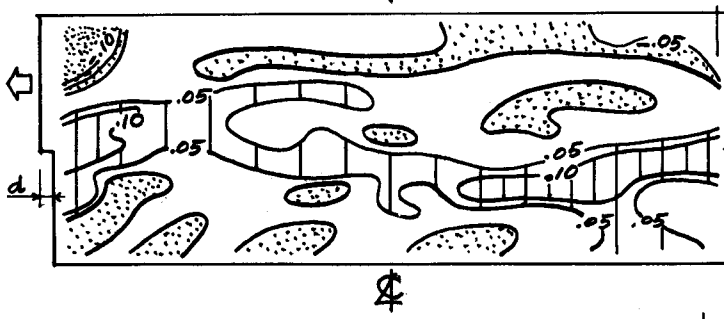
(a) $d=2\text{mm}$



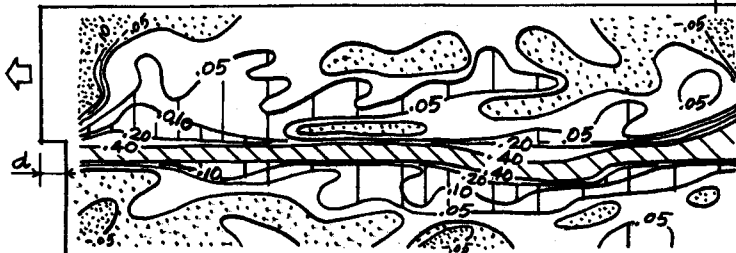
(b) $d=4\text{mm}$



(c) $d=6\text{mm}$



(d) $d=12\text{mm}$



すなわち、
 $U = \alpha_1 + \alpha_2 x + \alpha_3 y$
 $V = \alpha_4 + \alpha_5 x + \alpha_6 y$

これが成立すれば、 x, y 方向のヒズミ E_x, E_y およびセン断ヒズミ γ_{xy} は次式で与えられる。

$$\begin{Bmatrix} E_x \\ E_y \\ \gamma_{xy} \end{Bmatrix} = \begin{Bmatrix} \partial U / \partial x \\ \partial V / \partial y \\ \partial U / \partial y + \partial V / \partial x \end{Bmatrix} = \begin{Bmatrix} \alpha_2 \\ \alpha_6 \\ \alpha_3 + \alpha_5 \end{Bmatrix} \quad (2)$$

従て、任意の三角形要素を考慮した場合、その三角形の頂点における 3 点の x, y 座標とその変化分 U, V がわかればいいれば、(1) 式よりすべての α の値が決定され、その三角形内部における三種のヒズミが(2) 式により求まる。さらに要素内の最大・最小主ヒズミ E_1, E_3 、最大セン断ヒズミ γ_{max} 、および主ヒズミの傾き θ は、次のよう計算できる。

$$\begin{Bmatrix} E_1 \\ E_3 \end{Bmatrix} = \frac{1}{2} (E_x + E_y \pm \sqrt{(E_x - E_y)^2 + \gamma_{xy}^2})$$

$$\gamma_{max} = \sqrt{(E_x - E_y)^2 + \gamma_{xy}^2}, \quad \tan 2\theta = \frac{\gamma_{xy}}{E_x - E_y} \quad (3)$$

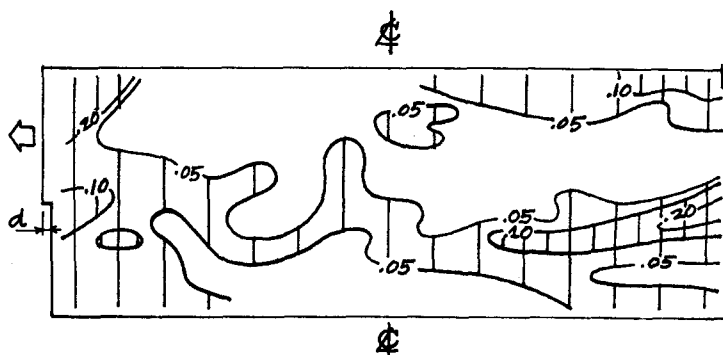
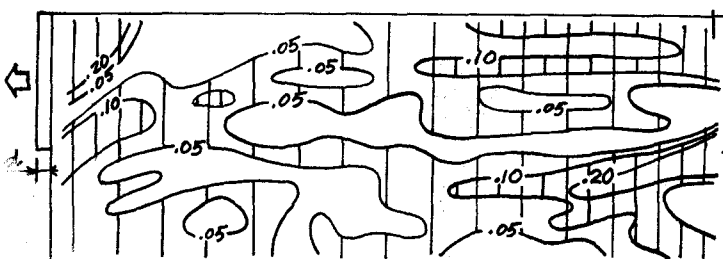


図-4
最大セン断ヒズミ
 γ_{max} の分布

(a) $d = 4\text{mm}$



(b) $d = 6\text{mm}$

なお、体積変化率 e の求め方(前回¹⁾)、各三角形要素の面積 T の変化分 ΔT として計算しなが、
 $\Delta T / T = E_x + E_y$ としてよい筈であるから、平面ヒズミの条件下では一要素内における
間隙比の変化分 Δe は、 $\Delta e = \frac{\Delta T}{T} (1 + e) = (E_x + E_y) (1 + e)$

としても表現できることになる。以上の計算では変化量はすべて累積的形式で定義し、例えは d_{i-1} に対してある要素内に生ずるヒズミ E_i は、 d_{i-1} から d_i までに生じたヒズミ ΔE_i を表し、
 $E_i = E_{i-1} + \Delta E_i$ として計算した。すべての計算は本章工部の NEAC 3100 を用いて行った。

4. セン断ヒズミ

図-1においてACで横割りにしてできる三角形要素について種々のヒズミを計算したもの、うち、セン断ヒズミ γ_{xy} の分布を図-3(a)～(d) に示す。黒塗を施した部分とそれ以外の部分との γ_{xy} の符号が異なっており、左上、右へと引張られる方向のヒズミ(-)と、たへ引きする方向のヒズミ(+)の発生する領域であることを示している。側面の変形の分布では、試料全域にわたって戸状ないし塊状の体積増減が発生し、これがめまぐらしく変化しながらも、それに水平変位 d が大きくなると筋状領域とでも呼ぶべき大きな体積変化を示す帯状領域が確立されてくるのであるが、 γ_{xy} の分布についてこの傾向はより明確に見られる。 $d=2mm$ では既に全域にわたる「ひびき」が発生しており、右端の印断面近傍で大きなヒズミの領域が発達してくるのが認められる(図-3a)。 $d=4mm$ になると、左石から舌状に伸びてく ~ 0.05 以上のヒズミ領域がひびき連続(図-3b)、 $d=6mm$ になると、この領域が完全に一体化し、 0.10 以上の帶状顯著に発達してくるのが見られる(図-3c)。 $d=2, 4mm$ で発揮された全水平拘束は、左上、最大値の 83, 96% をあり、 d の値のみでは、どの位「試料全体としての破壊」に近づいたのか即断は許さない。 $d=12mm$ に到ると、拘束力は最大値の 88% に下り、厚さ約 2cm のセン断ヒズミ 0.20 以上のベルトが、印断面より稍下側に確立される(図-3d)。0.40 以上のベルト内では三角形要素の变形が極端で、長辺にはあまり意味がないと思われる。

比較のため、最大セン断ヒズミ γ_{max} の分布、 $d=4, 6mm$ の場合を図-4(a), (b) に示す。これは(3)式により総体積として意義があるので、向きについては区別できないが、大体 γ_{xy} の分布と似た傾向を示し大きなヒズミの帯状領域が右から発達してくるのが見られる。 $d=4 \sim 6mm$ になると 0.05 以上の領域では γ_{xy} は γ_{max} に近い値をとり始め、ついで 0.10 以上のゾーンへと移行していくので、主ヒズミの方向は 45° 近く傾いていることがわかる。総て大きなヒズミの領域内では応力をその程度負担している事が想像される。さらに d が大きくなるにつれ、「破壊帯」(ひびき)は $\gamma_{xy} = \gamma_{max}$ にまでは等しくなることからわかる。

5. おわりに

今回ヒズミの計算では、通常のFEMの座標を逆にシカザハのままであるか、 E_x, E_y の計算値などは満足すべきものではないかと思われ、石川などに対する仮定(1)式の妥当性、および三角形要素のヒズミについての検討中である。複雑な変形を示す印断面附近を除いても、図-1の幾何を AC で横割りにするのと BD で縦割りにするのとでは、△E やヒズミの値にかなりの差を生じて、二つに報告してセン断ヒズミについてもまだ結論を下す段階には至っていない。しかししながら、直角セン断をうける岩石試料内部に生ずる変化とその分布は、普通考えられていく以上複雑であることは明らかである。現在ならびにこの破壊機構の解明に資するための実験・計算を続行中である。

本研究について東京大学の石原研助教授より有益な示唆を貰った。こゝに感謝の意を表する。

6. 参考文献

- 1), 2) は夫々筆者による土木学会(1969)[III-38], 土質工学会(1970)[50 D-6]の講演集報告
- 3) 1)の中の参考文献 5 4) Zienkiewicz, O.C.(1967) "The Finite Element Method" McGraw-Hill

[19 June '70 for 26th JSCE Conf., Sendai]